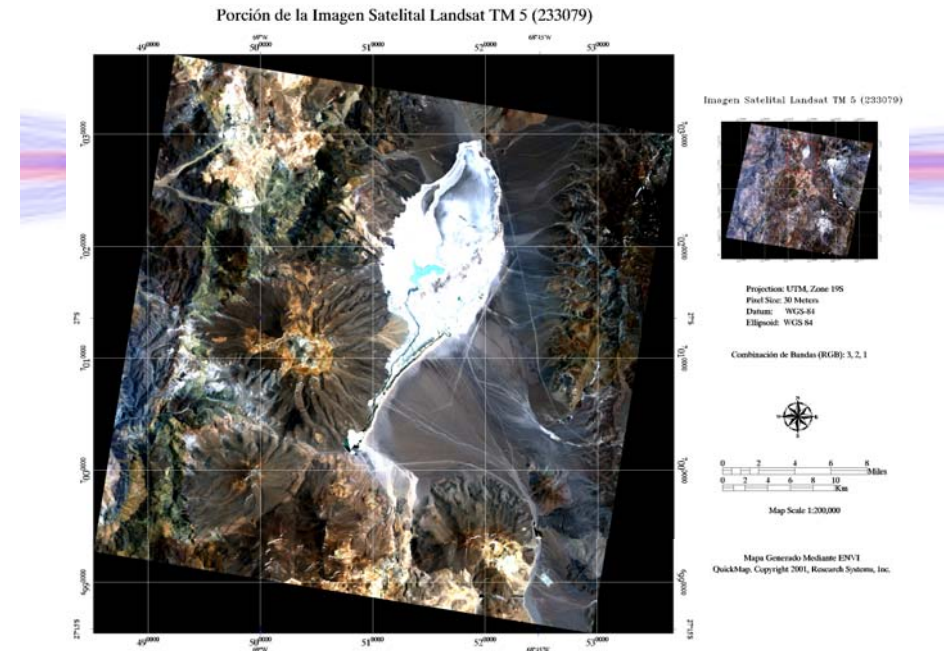


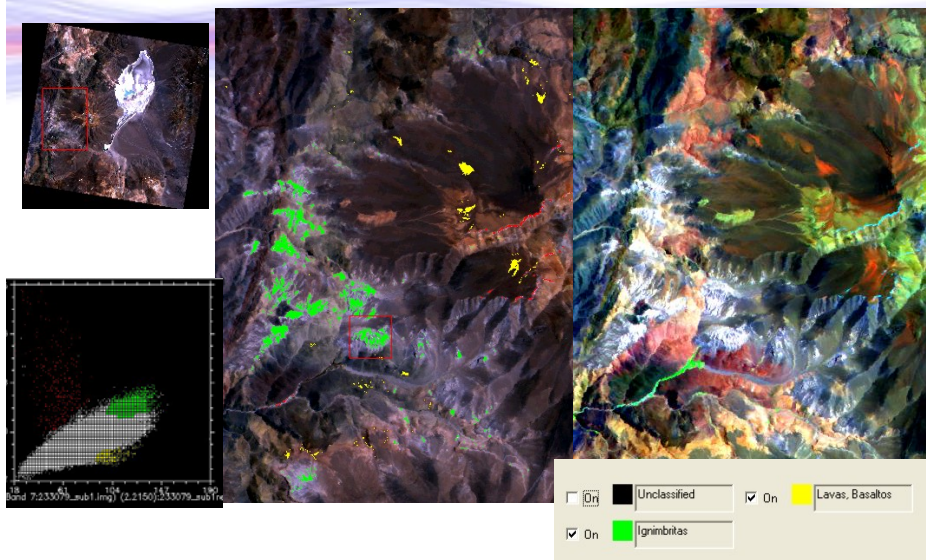
SENSORES REMOTOS

Trabajo Final

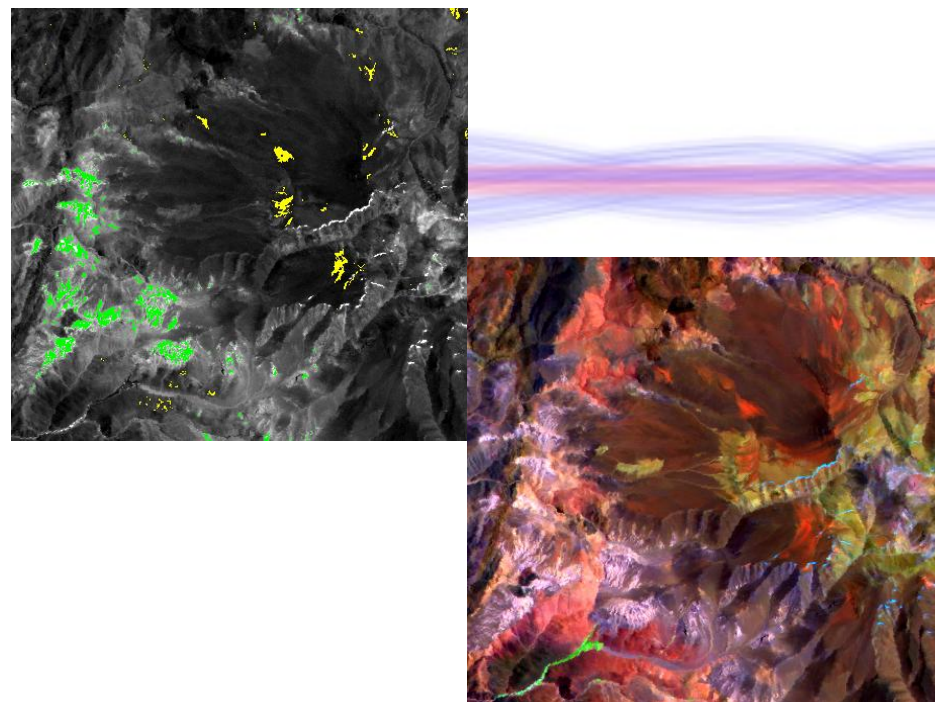
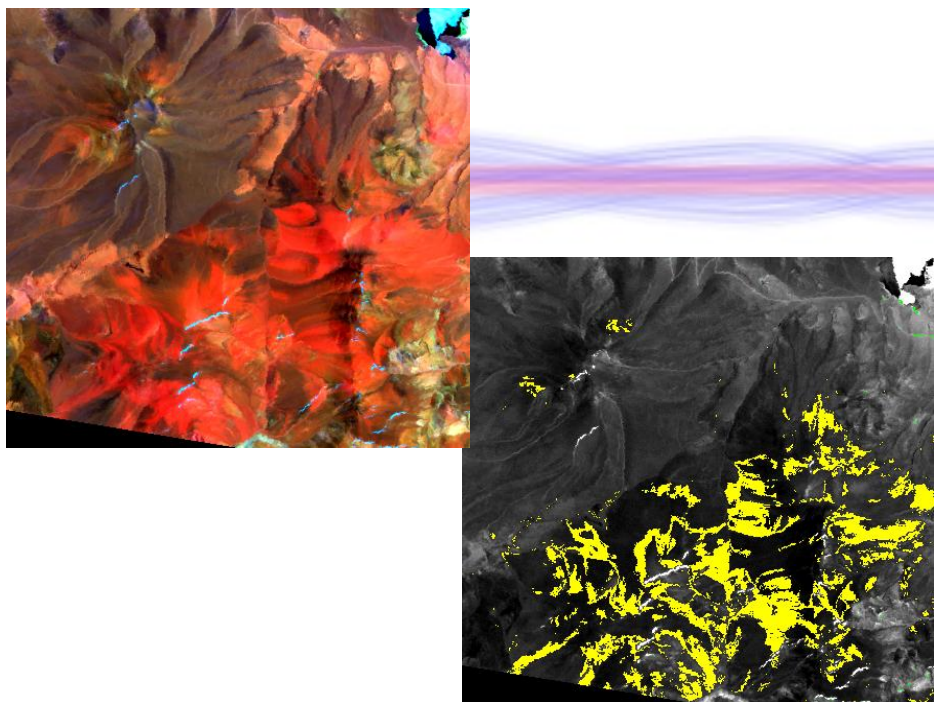
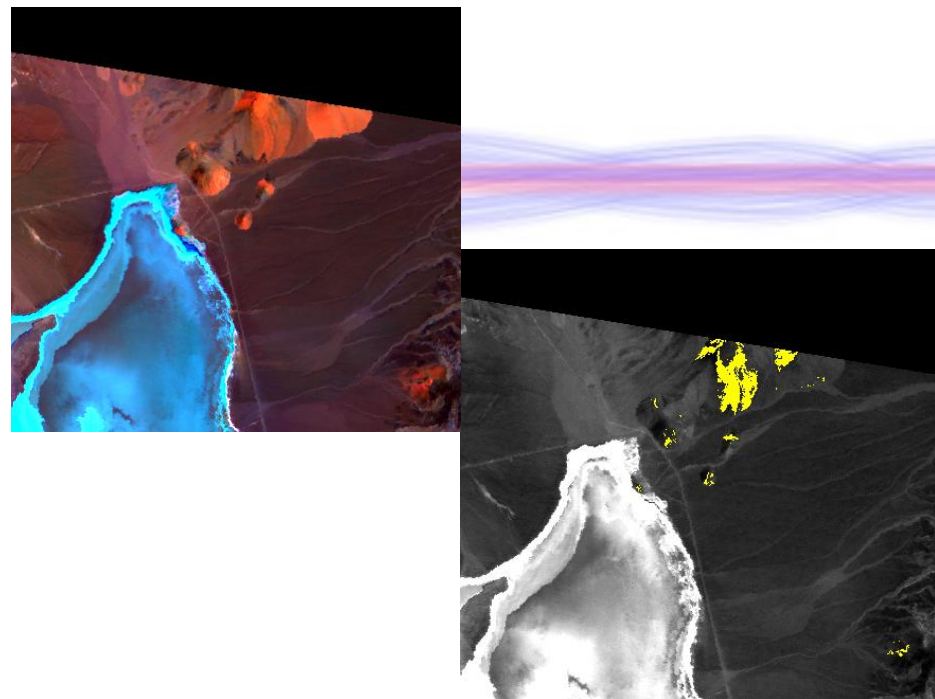
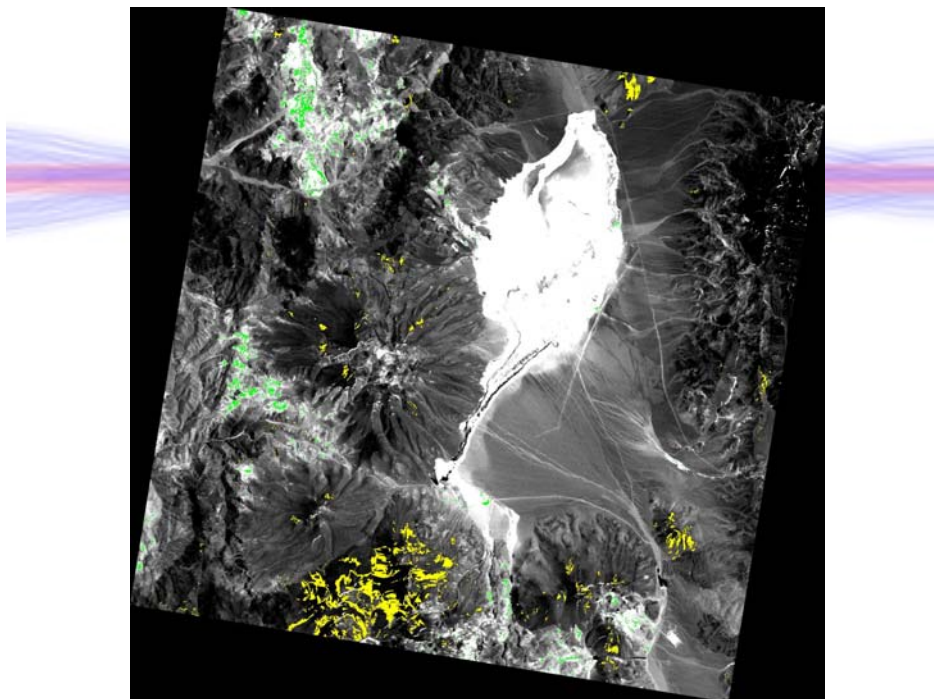
Integrantes: D'Odorico Alejandro A.
Orts, Darío Leandro



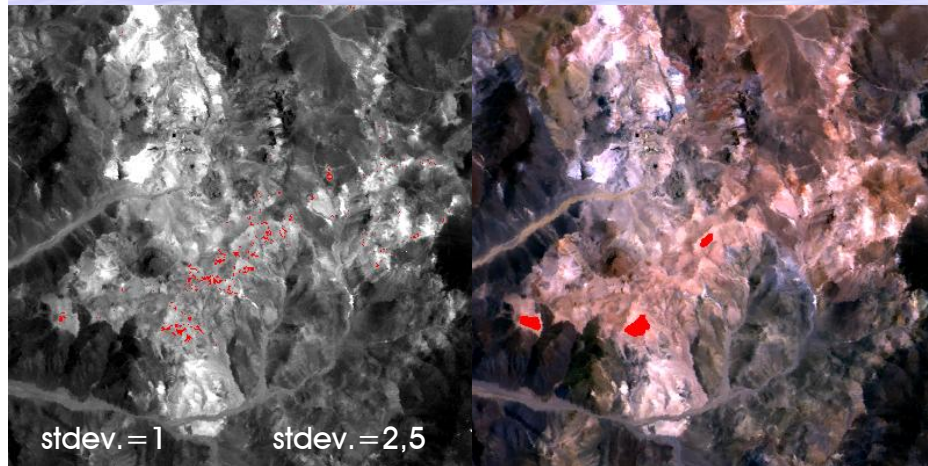
Scattergrama 2D: Bandas 7 vs. 2



Clasificación supervisada mediante el
metodo del paralelepipedo en base a los ROI
seleccionados en el Scattergrama 2D.



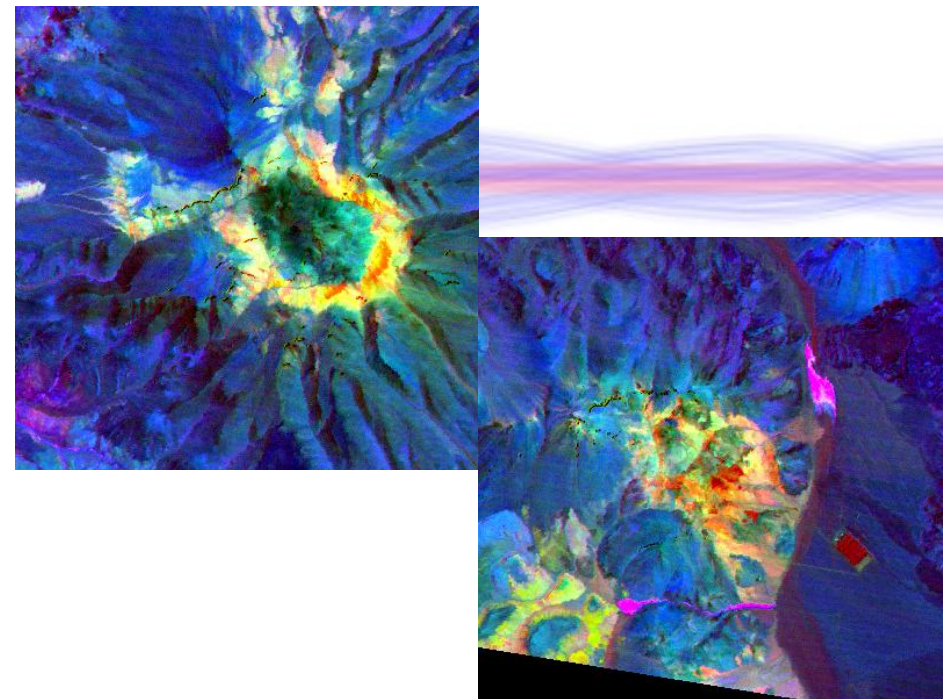
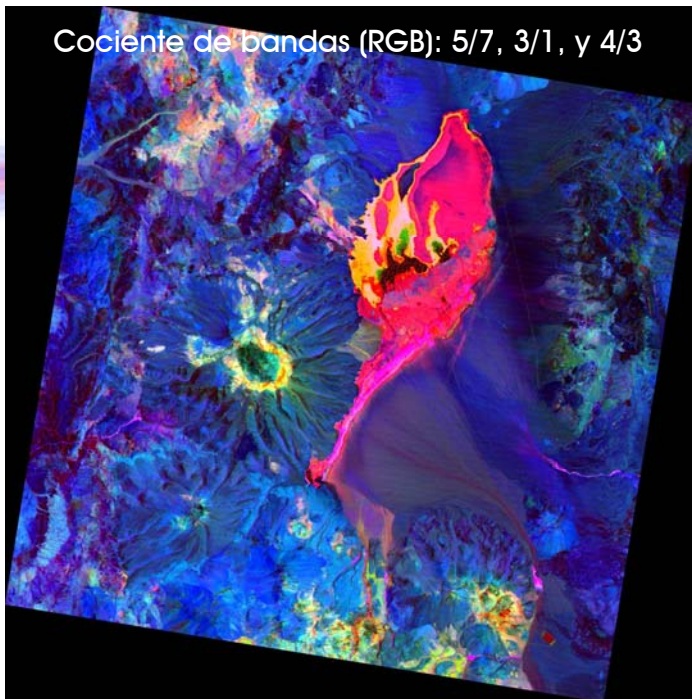
Clasificación supervisada mediante el método de distancia mínima, con distintos valores de desviación estandar, basada en ROI seleccionado manualmente.



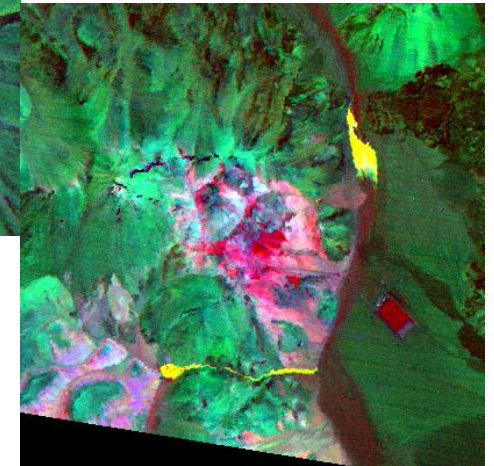
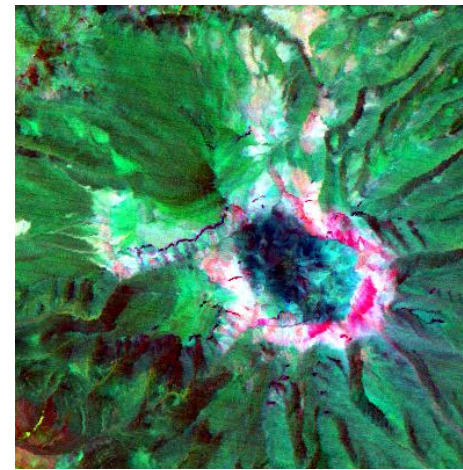
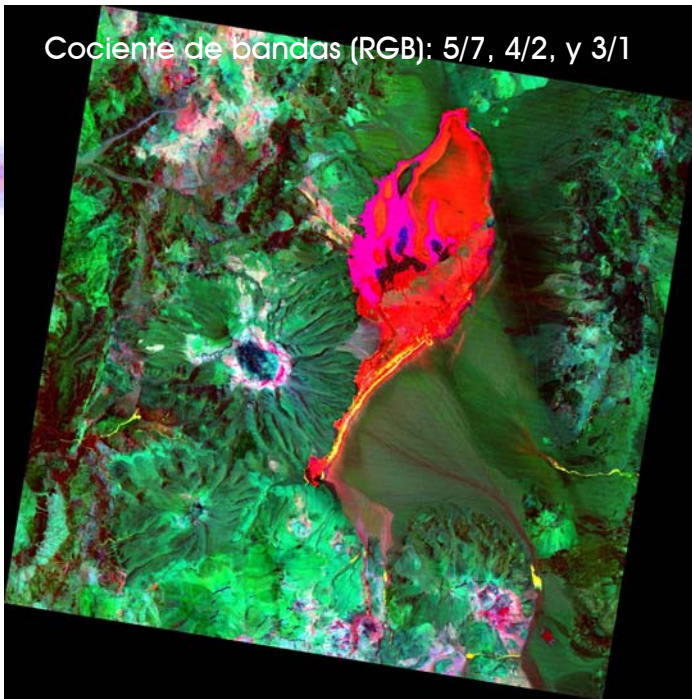
Cocientes de bandas

- Resalto de la alteración hidrotermal de rocas ígneas mediante la combinación de cocientes de bandas.

Cociente de bandas (RGB): 5/7, 3/1, y 4/3

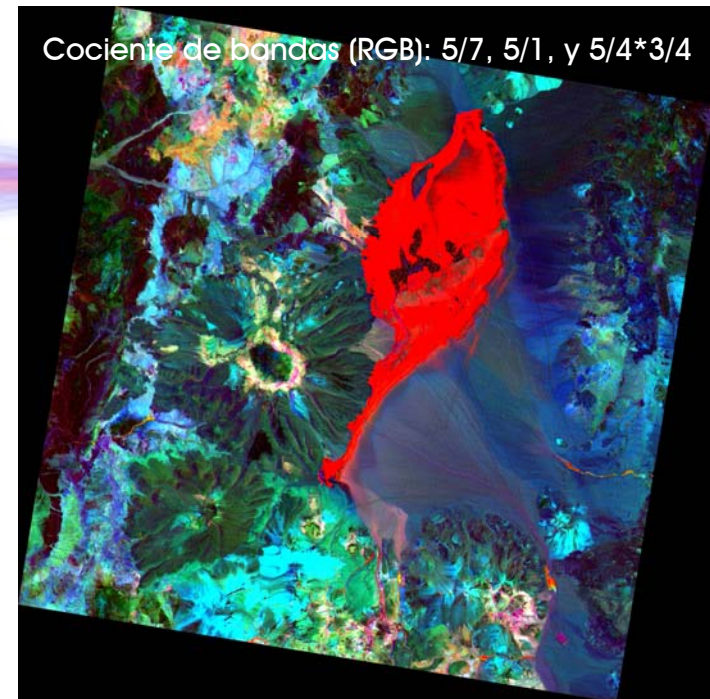


Cociente de bandas (RGB): $5/7$, $4/2$, y $3/1$

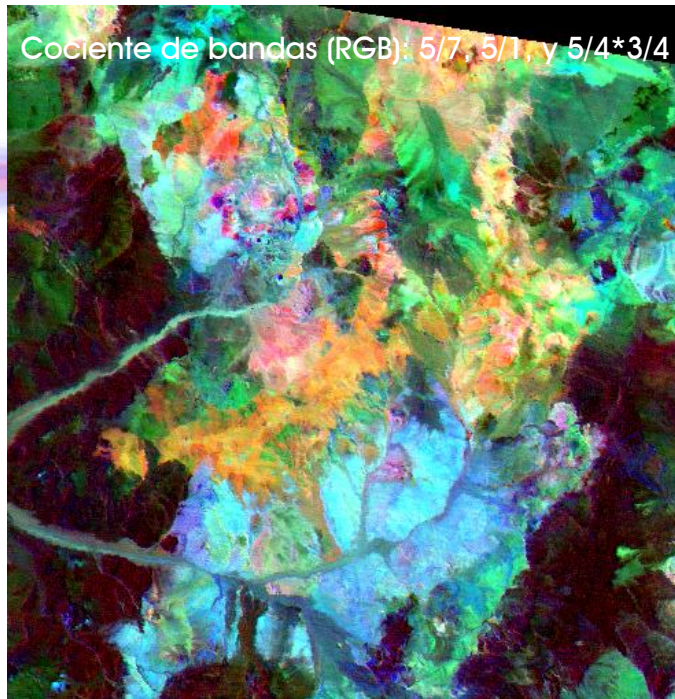


Combinación de cocientes de bandas
con otras formulas entre bandas

Cociente de bandas (RGB): $5/7$, $5/1$, y $5/4 \cdot 3/4$

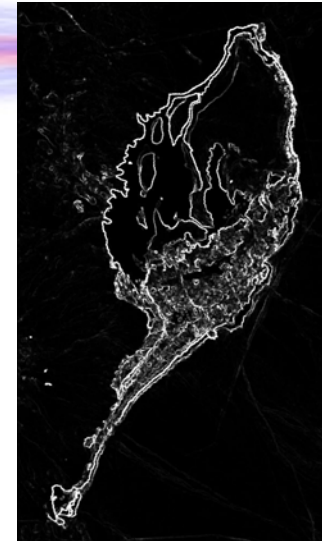


Cociente de bandas (RGB): 5/7, 5/1, y 5/4*3/4



Utilización de filtros

- Imagen generada al aplicar el filtro con la textura de co-ocurrencia sobre la banda 1



Ortorectificación

Lista GCP Imagen a Imagen

	Base X	Base Y	Warp X	Warp Y	Predict X	Predict Y	Error X	Error Y	RMS
#1+	586.50	1161.50	527.25	1090.75	527.2438	1090.9652	-0.0062	0.2152	0.2153
#2+	1021.25	346.50	825.50	216.50	825.2743	216.6466	-0.2257	0.1466	0.2691
#3+	1386.33	1472.33	1367.43	1269.29	1367.1668	1268.8552	-0.2632	-0.4348	0.5083
#4+	592.56	988.44	505.29	919.43	505.3862	919.2210	0.0962	-0.2090	0.2301
#5+	239.56	346.33	53.43	342.29	53.6359	342.5461	0.2059	0.2561	0.3286
#6+	209.67	1462.33	203.43	1448.29	203.4818	1448.5042	0.0518	0.2142	0.2203
#7+	1089.33	1493.56	1077.57	1337.71	1077.2676	1337.6416	-0.3024	-0.0684	0.3101
#8+	1569.44	547.44	1398.29	326.43	1398.8103	326.5527	0.5203	0.1227	0.5346
#9+	1114.67	1424.67	1090.57	1265.29	1091.1948	1265.5760	0.6248	0.2860	0.6872
#10+	373.22	600.22	226.57	571.43	226.3932	571.5067	-0.1768	0.0767	0.1927
#11+	688.33	465.44	516.43	387.57	515.7869	387.7051	-0.6431	0.1351	0.6572
#12+	865.67	329.33	668.43	225.57	668.9359	224.7943	0.5059	-0.7757	0.9261
#13+	1101.56	957.78	1002.71	806.43	1003.0292	806.9368	0.3192	0.5068	0.5989
#14+	1100.50	959.50	1002.43	808.43	1002.2597	808.8050	-0.1703	0.3750	0.4119
#15+	1642.30	725.50	1499.57	490.29	1499.4867	490.5418	-0.1033	0.2518	0.2722
#16+	683.70	1411.50	663.57	1322.43	663.4556	1321.9972	-0.1144	-0.4328	0.4477
#17+	928.50	400.30	742.43	284.29	742.3835	284.6957	-0.0465	0.4057	0.4083
#18+	724.50	918.50	624.43	829.57	624.4067	828.9430	-0.0233	-0.6270	0.6274
#19+	1576.30	325.60	1370.29	106.57	1369.7961	106.5037	-0.4939	-0.0663	0.4984
#20+	1188.60	168.70	961.57	14.57	961.8151	14.1921	0.2451	-0.3779	0.4504